水杉同工酶遗传变异的研究

张文英 李明鹤2

(1 华南农业大学林学院,510642,广州; 2 华中农业大学林学系)

摘要 应用聚丙烯酰胺凝胶电泳技术,以种子胚乳为材料,对水杉原产地 3个小群体的 6种同工酶的遗传方式进行了研究,确定了由 16个基因座位编码的 65个等位基因。GOT、MDH、PGI 和EST分别受3个多态座位控制,α-AMY、ME分别受 2个多态座位控制,所有座位均为多态座位。各种同工酶的遗传表达基本稳定。

关键词 水杉;同工酶;等位基因;等位酶;聚丙烯酰胺凝胶电泳中图分类号 S722.31

近年来,同工酶技术被广泛应用于树木遗传育种研究的各个方面,其中最有效的是用以检测树木群体遗传变异(Brown et al,1983; Mitton,1983)。由于针叶树种子的胚乳为单倍体,故只要分析其同工酶谱带便可确定树木的遗传方式和连锁关系,而不需进行控制杂交和子代分析(葛颂等,1987; Adams,1983; Mitton,1983)。

水杉 (Metasequoia glyptostroboides Hu et Cheng) 原产我国湖北,湖南、四川三省交界处,珍贵孑遗树种之一。本研究首次采用聚丙烯酰胺凝胶电泳技术对水杉自然群体 6 种同工酶的遗传多态性进行研究,为进一步了解水杉群体的遗传结构提供依据。

1 材料与方法

1.1 采样和样品处理

从原产地水杉3个小群体,共计49个单株上分株采集球果并编号,球果净种后,种子置冰箱中保存待用。各单株种子经浸泡催芽,胚根微露时分离胚和胚乳。胚乳用0.1 mol/LTris-HCl缓冲液(pH8.0)匀浆提取,在0℃下离心(12000 r/min)15 min,取上清液置于-20℃ 冰箱中保存备用。

1.2 电泳和染色

采用不连续双垂直板聚丙烯酰胺凝胶电泳。检测了以下 6 种同工酶: 谷氨酸草酰乙酸 转氨酶(Glutamate oxaloacetate tranasaminase; GOT; E. C. 2. 6. 1.1), α —淀粉酶(α —Amylase; α —AMY; E. C. 3. 2. 1. 1), 苹果酸酶 (Malic enzyme; ME; E. C. 1. 1. 1.40), 苹果酸脱氢酶 (Malate dehydrogenase; MDH; E. C. 1. 1. 1. 27), 6—磷酸葡萄糖异构酶 (Phosphoglucose isomerase; PGI; E. C. 5. 3. 1.9), 酯酶 (Esterase EST; E. C. 3. 1. 1. 2)。 GOT、ME、PGI、 α —AMY均为 7% 分离胶,其中 α —AMY在凝胶中加入 0.5% 的淀粉,EST、 MDH 为 10%分离胶。浓缩胶均为2.5%。电极 缓冲液为 0.005 mol/L Tris—0.038 mol/L 甘氨酸(pH8.3)。进样量 25~ 50 μ L。 稳流电泳,待指示剂移至距起点 10 cm 时,停止电泳,剥胶染色。

染色方法依据 Vajellos (1983)和 Siciliano & Shaw(1980)的方法,略作修改。

1993-09-01 收稿

1.3 酶谱遗传分析

同工酶座位和等位基因命名参照 Allenderf & Utter (1979)的方法,酶的缩写字母代表酶系统,缩写加连字号和数字代表不同座位。各座位上等位基因依据迁移率 Rf值不同分别用小写英文字母 a,b,c..... 等表示,不表达等位基因(Null allele)用 o 表示。

根据胚乳的酶谱判断母树基因型时,若每株分析 N粒胚乳,则正确判断母树基因型的概率为 $1-(1/2)^{N-1}$ (Adams, 1983)。本实验中每株树每种酶分析 $7\sim15$ 粒胚乳,等位基因分离与理论期望比例(1:1)的适合度用经过矫正的 χ^2 分析检验(葛颂等, 1987)。

2 结果与分析

电泳分析证明,6个酶系统共由16个基因座位编码,所有座位均为多态座位,每座位至少有2个等位基因,共计有65个结构基因。

现将6种同工酶分述如下:

2.1 GOT 同工酶(E. C. 2. 6. 1. 1)

GOT有3个多态座位。Got-1具有4个等位基因,表现为3个不同迁移率的单带表现型和1个无带表现型。Got-2具有2个等位基因,表现为1个单带表现型和1个无带表现型。Got-3靠近负极,具有2个等位基因,表现为2个三带表现型变异(图1)。

所检验测单株中,约 24 株至少在1个座位上有基因分离现象,25 株在3个座位上均无分离。

2.2 α-AMY 同工酶(E. C. 3. 2. 1. 1)

由 2 个多态座位控制,α-Amy-1有 2 个等位基因,表现为 1 个双带表现型和 1 个无带表现型。α-Amy-2 靠近负极,有 5 个等位基因,表现为 2 个单带表现型和 3 个双带表现型。此座位上各单株均纯合,差异只存在于个体间(图 2)。有 8 个单株在 α-Amy-1上杂合,41 株纯合;所有单株在α-Amy-2上纯合。

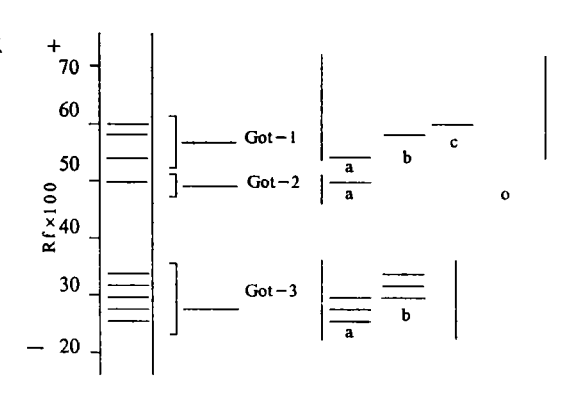


图 1 Got 座位上等位基因的分离模式

2.3 ME 同工酶(E.C. 1. 1. 1. 40)

有3个染色区,染色区1酶谱不清晰,不做分析。染色区2由多态座位Me-1控制,有2个等位基因,表现为1个单带表现型和1个无带表现型。染色区3由Me-2控制,具5个等位基因,表现为3个单带表现型,1个双带表现型和1个无带表现型(图3)。Me-1在所有单株中纯合,Me-2在25株中纯合,22株中杂合。

2.4 MDH同工酶(E. C. 1, 1, 1, 37)

由 3 个座位控制。Mdh-1 由 3 个等位基因组成,表现为 1 个单带表现型、1 个双带表现现型和 1 个无带表现型。Mdh-2 有 2 个等位基因,分别表现为三带表现型和四带表现型,前者在群体中所占比例很大,后者只在 3 个单株中出现。Mdh-3 具有 2 个等位基因,表现为 2 个单带表现型(图 4)。

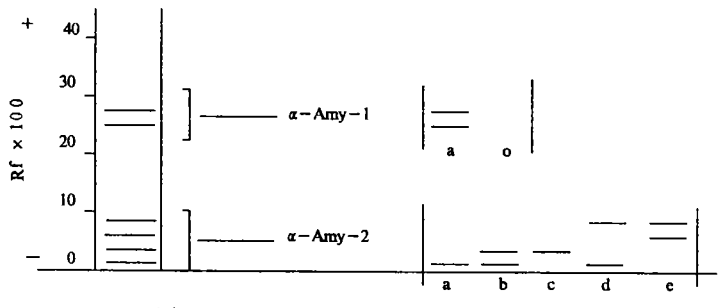


图 2 α-AMY座位上等位基因的分离模式

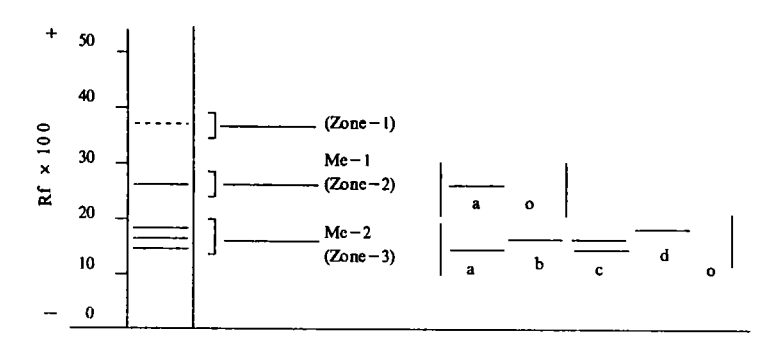


图 3 ME座位上等位基因的分离模式

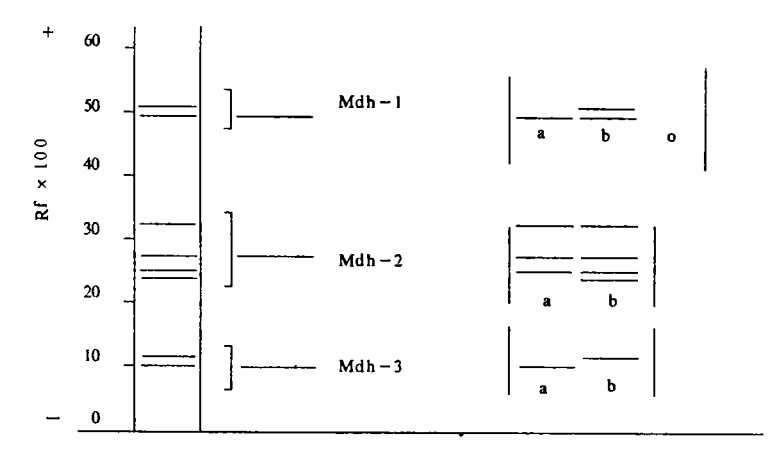


图 4 MDH座位上等位基因的分离模式

2.5 PGI 同工酶(E. C. 5. 3. 1. 9)

观察到 3 个染色区, 染色区 1 由具有 11 个等位基因的多态位点 Pgi-1 控制, 表现为 3 个单带变异、4 个双带变异、3 个三带变异和 1 个无带变异。该位点谐带变化较大, 可能与酶本身特性、当时电泳条件及对酶带的人为划分等因素有关。染色区 2 由具有 4 个等位基因的 Pgi-2 控制, 表现为 3 个单带变异和 1 个无带变异。染色区 3 由具有 2 个等位基因的 Pgi-3 控制, 表现为 1 个单带表现型和 1 个无带表现型(图 5)。

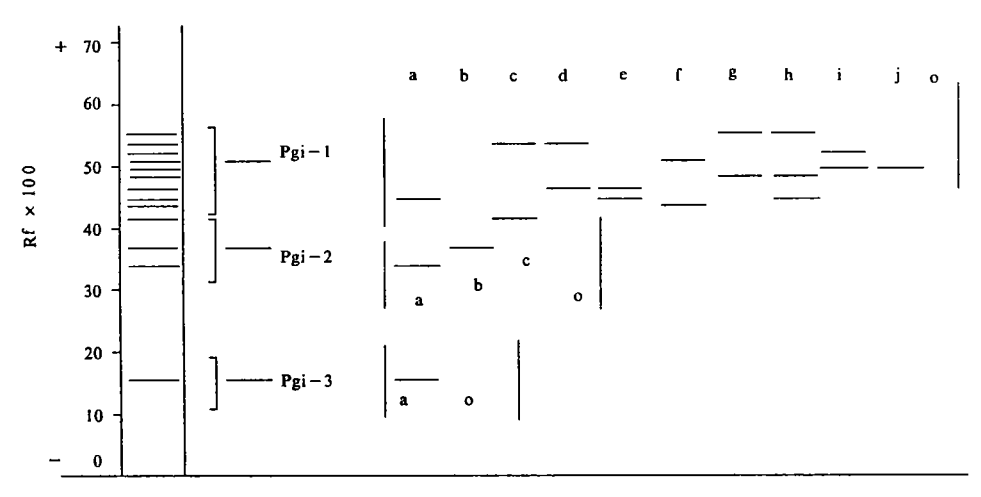


图 5 PGI座位上等位基因的分离模式

2.6 EST 同工酶(E.C.3.1.1.2)

有 4 个染色区。染色区 1 由具有 2 个等位基因的 Est-1 控制,表现为 1 个单带表现型和 1 个无带表现型。染色区 2 由具有 9 个等位基因的 Est-2 控制,表现为 3 个单带变异,3 个双带变异,2 个三带变异和 1 个无带变异。染色区 3 酶带不清晰,不作分析。染色区 4 由具有 8 个等位基因的 Est-3 控制,表现为 4 个单带变异,3 个双带变异和 1 个无带变异(图 6)。

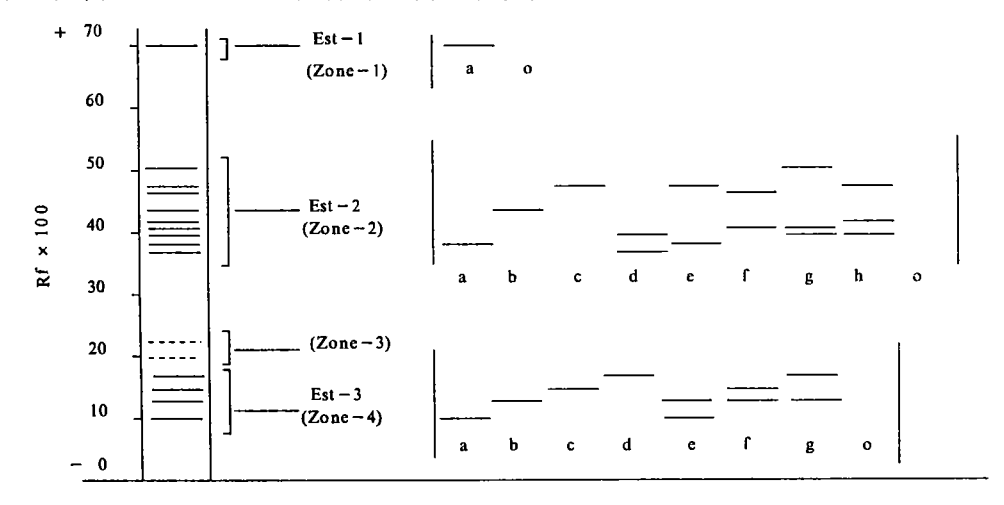


图 6 EST 各座位上等位基因的分离模式

为了解以上各酶座位谱带分离情况,对 49个单株在 12个多态座位上的杂合情况进行统计,共有 108 次/ 株杂合单株,统计等位基因观察值并计算理论值(1:1)进行 χ^2 检验, χ^2 值均未达统计显著,说明各座位上杂合单株二等位基因的分离与理论期望比例相符,不存在致死等位基因。

3 讨论

水杉中 GOT, α-AMY, ME, MDH, PGI 和 EST 的同工酶在 16 个基因座位上由 65 个结构基因编码,这 16 个多态座位的同工酶谱带均符合分离和自由组合规律, 所以这 6 种同工酶都是属于同一座位上不同等位基因所表达的同工酶,即等位酶(Allozymes).

应用同工酶可进行座位间的连锁分析(葛颂等,1987; Adams,1983)。 水杉种子胚乳极

小,一个胚乳提取的酶液最多只能分析两种酶,无法进行连锁分析。建议采用淀粉凝胶电泳,可减少酶液用量及电泳次数,并可检验位点间的连锁关系。

参考 文献

葛颂,黄敏仁,许 农. 1987. 马尾松 GOT、LDH 和 MDH 同工酶的遗传方式和连锁关系. 遗传学报,14(6): 428~435

Siciliano M J, Shaw C R.1980. 凝胶上酶和分离和显现.1976. 植物生理学通讯, (4): 59~70 Adams W T.1993. Application of isozymes in tree breeding. In: Tanksley S D, Orton T J. eds. Isozymes in plant Genetics and Breeding, Part A. Amersterdam: Elsevier Sicence Publishers, 381~400

Allendorf F W, Utter F M. 1979. Population genetics. Fish Physiology,8: 407 ~475

Brown A H D, Weir B S. 1983. Measuring genetic variability in plant population. In: Tanksley S D, Orton T J. eds. Isozymes in Plant Genetics and Breeding, Part A. Amersterdam: Elsevier Science Publishers, 219 ~239

Mitton J B. 1983. Conifers. In: Tanksley S D, Orton T J. eds. Isozymes in Plant Genetics and Breeding, Part B. Amersterdam: Elsevier Science Publishers, 443 ~472

Vajellos C E. 1983. Enzyme activity staining. In: Tanksley S D, Orton T J. eds. Isozymes in Plant Genetics and Breeding, Part A. Amersterdam: Elsevier Science Publishers, 469 ~ 516

A STUDY ON GENETIC VARIATION OF ISOZYME IN Metasequoia glyptostrobiodes

Zhang Wenying Li Minghe²
(1 College of forestry, South China Agr. Univ., 510642, Guangzhou;
2 Dept. of Forestry, Huazhong Agr. Univ.)

Abstract The inheritance of six polymorphic isozyme systems in $Metasequoia\ glyp-tostroboides$ was studied by polyacrylamide gel electrophoresis. Analysis using haploid endosperm tissues of open-poltinated seeds collected from the original distribution range demonstrated that allozyme variants in six enzymes were encoded by a total of 65 structual genes in 16 loci, Among these isozyme systems, GOT, MDH, PGI and EST were controlled by three loci, respectively; $\alpha-AMY$ and ME were controlled by two loci. It was found that every locus was polymorphic.

Key words Metasequoia glyptostroboides; Isozyme; Allozyme; Polyacrylamide gel electrophoresis

THE NEED AND ADDA

MADE TO A STATE OF THE PARTY OF THE PA